

## بررسی خواص بحرانی مدل‌های هایزنبرگ و XY کلاسیک به روش گروه بازبینجارش میدان میانگین (MFRG)

اعظم صادقی و فرهاد شهرآزادی

دانشکده فیزیک، دانشگاه صنعتی اصفهان، اصفهان

(دریافت مقاله: ۸۴/۹/۶؛ دریافت نسخه نهایی: ۸۵/۱۲/۹)

### چکیده

در این مقاله با استفاده از روش گروه بازبینجارش میدان میانگین و گروه بازبینجارش میدان میانگین سطحی - کهای خواص بحرانی مدل‌های اسپینی هایزنبرگ و XY بر روی شبکه مکعبی ساده بررسی می‌شود. دمای بحرانی و نماهای بحرانی، که مشخص کننده رده چهانشمولی این دو مدل هستند، برای خوش‌های ۳، ۲، ۱ و ۴ اسپینی به صورت تحلیلی محاسبه و با نتایج روش‌های دیگر مانند مونت کارلو و سری دماهای بالا مقایسه شده‌اند که تطابق خوبی با نتایج به دست آمده مشاهده می‌شود.

**واژه‌های کلیدی:** گروه بازبینجارش، نظریه میدان میانگین، نماهای بحرانی

### ۱. مقدمه

نظریه گروه بازبینجارش که در سال ۱۹۷۰ [۱ و ۲] ارائه شد، یک ابزار نظری مؤثر برای توصیف و همچنین محاسبه کمیتها و خواص بحرانی دستگاه‌های آماری در نقطه گذار فاز پیوسته یا مرتبه دوم در اختیار فیزیکدانها قرار داد. از آن به بعد روش‌های متعددی که همگی مبتنی بر اصول اولیه گروه بازبینجارش بودند، برای مطالعه دستگاه‌های بحرانی ابداع شدند. از جمله می‌توان به روش‌های گروه بازبینجارش پدیدار شناختی اشاره کرد که روش‌های MFRG<sup>۱</sup> و SBMFRG<sup>۲</sup> دو مثال مشخص از آنها هستند. در روش گروه بازبینجارش میدان میانگین پارامتر نظم یک خوش N اسپینی به پارامتر نظم در خوش N' (N>N') اسپینی بازبینجار می‌شود. اسپینهای این خوش‌ها علاوه بر

برهمکنش با یکدیگر، با اسپینهای اطراف نیز برهمکنش دارند.

در روش MFRG میدان متوسط حاصل از اسپینهای اطراف آنها به صورت میدان ثابتی فرض می‌شود که به ترتیب b و b' نام دارند. معناطش در واحد اسپین از رابطه کالن-سوزوکی [۳]

$$m_N(k, h, b) = \frac{\text{Tr}(\frac{1}{N} \sum_{i=1}^N s_i e^{-\beta H_N})}{\text{Tr}(e^{-\beta H_N})}, \quad (1)$$

به دست می‌آید، در حالی که جمع روی کل هنگرد تعریف شده به وسیله هامیلتونی (H\_N) است و  $\beta = \frac{1}{k_B T}$ . MFRG فرض می‌کند که بین معناطش m\_N و m\_{N'} رابطه مقیاس‌بندی سیستمهای نامتناهی برقرار است.

$$m_{N'}(k', h', b') = l^{d-y_H} m_N(k, h, b) \quad (2)$$

که معمولاً l را به صورت  $l = (N/N')^{1/d}$  تعریف می‌کنند. این تعریف با  $l = \frac{L}{L'}$  در بلوكهای متقارن ابرمکعبی با

۱. Mean Field Renormalization Group

۲. Surface Bulk Mean Field Renormalization Group

نمای گرمایی  $\frac{1}{y_t} = v$  را به دست آورد. یکی از راههای تصحیح در نتایج، اعمال آثار سطحی و حجمی خوشهای محدود است. با در نظر گرفتن سه خوشه  $N, N', N''$  و حل خودسازگار دو رابطه مقایسیندی

$$f_{N'}(k') = l^x f_N(k) \quad , \quad (10)$$

$$f_{N''}(k'') = l^y f_{N'}(k') \quad ,$$

که

$$x = d - y_H - y_{H_s}, \quad y = d - y_H - y_{H_s}. \quad (11)$$

در نقطه بحرانی  $k_c = k' = k''$  دما و نمای بحرانی را با دقت بالاتری نسبت به نتایج MFRG به دست می‌آوریم [۵].

## ۲. مدل‌های هایزنبرگ و XY

در مدل هایزنبرگ پارامتر نظم برداری است که در فضای سه بعدی می‌چرخد و در غیاب میدان خارجی دارای تقارن O(۳) است. اما در حضور میدان خارجی در صفحه عمود بر میدان تحت دوران ناوردا باقی می‌ماند و تقارن O(۲) دارد. مدل هایزنبرگ بیشتر در مواد مغناطیسی همسانگرد مشاهده می‌شود و پارامتر نظم همان مغناطش سیستم است.

در مدل XY اسپینها در صفحه دوران می‌کنند. بنابراین پارامتر نظم دو مؤلفه دارد و از گروه تقارنی O(۲) می‌باشد. پارامتر نظم ابرشارهایی مانند  $He^+$  از این گونه‌اند و مدل XY برای آنها صدق می‌کند.

در این دو مدل شکست تقارنی خودبه خودی و گذار فاز در دمای  $T_c > d > 2$  وجود دارد. در بالاتر از دو بعد سیستم زیر این دما منظم شده و مغناطش غیر صفر است [۶].

## ۳. شبکه مکعبی با مدل هایزنبرگ

هامیلتونی مدل هایزنبرگ با برهمکنش نزدیکترین همسایه‌ها به شکل زیر است:

$$-\beta H = k \sum_{\langle i,j \rangle} \vec{s}_i \cdot \vec{s}_j + \vec{h} \cdot \sum_{i=1}^N \vec{s}_i \quad (12)$$

با این فرض که میدان خارجی در جهت محور Z و میدان

اسپین، معادل است. روش دیگری نیز برای تعریف / ارائه شده است [۴] که نتایج قابل قبول‌تری نسبت به تعریف قبل می‌دهد.

$$\text{در این تعریف جدید به جای } L = N^{1/d} \text{ فرض می‌کنیم} \\ L = \left( \frac{1}{d} \sum_i L_i^{-2} \right)^{-1/2} \quad (3)$$

که جمع روی جهات دکارتی و  $L_i$  تعداد پیوندها در هر جهت است و برهمکنش‌های مؤثر در هر جهت را نشان می‌دهد. رابطه فوق از این واقعیت به دست می‌آید که  $\frac{1}{L}$  بردار قطع موج در فضای وارون (k) و  $\frac{1}{L_i}$  مؤلفه آن در جهت i ام است. ما در این مقاله از هر دو نوع تعریف استفاده می‌کنیم تا بتوان نتایج را با هم مقایسه نمود. در این مقاله کلیه محاسبات در فضایی سه بعدی انجام شده است.

در نزدیکی نقطه بحرانی با توجه به این که  $b, b'$  و  $h, h'$  تا تقریب مرتبه اول داریم:

$$g_N'(k')h' + f_{N'}(k')b' = g_N(k)h + f_N(k)b, \quad (4)$$

که

$$f_{N'}(k') = \frac{\partial m_{N'}}{\partial b'} \Big|_{h'=0, b'=0}, \quad f_N(k) = \frac{\partial m_N}{\partial b} \Big|_{h=0, b=0}. \quad (5)$$

$$g_{N'}(k') = \frac{\partial m_{N'}}{\partial h'} \Big|_{h'=0, b'=0}, \quad g_N(k) = \frac{\partial m_N}{\partial h} \Big|_{h=0, b=0}.$$

$$b \text{ و } b' \text{ هم از رابطه مقایسیندی مغناطش‌های سیستم پیروی می‌کنند.} \\ b' = l^{d-y_H} b$$

بنابراین از معادلات (۳) و (۵) داریم :

$$f_{N'}(k') = f_N(k) \quad (7)$$

$$g_{N'}(k') = l^{d-y_H} g_N(k) \quad (8)$$

با توجه به اینکه نقطه بحرانی یک نقطه ثابت است و در چنین نقطه‌ای سیستم تحت تبدیلات RG تغییر نمی‌کند، یعنی  $k = k' = k_c$  و از رابطه (۷) که مستقل از هر نمایی یک رابطه بازگشتی است، می‌توان در نقطه بحرانی  $k_c$  را حساب کرد و با کمک رابطه (۸) نمای مغناطیسی  $y_H$  و از نتیجه نظریه گروه باز بهنگارش

$$l^{y_t} = l^{\gamma_v} = \lambda_T, \quad \lambda_T = \frac{\partial k'}{\partial k} \Big|_{k_c} \quad (9)$$

جدول ۱. نتایج به دست آمده از مدل هایزنبرگ با انتخاب  $L$  به صورت  $.L = N^{1/d}$ 

<i>Heisenberg Model</i>	$k_c$	$\nu$	$y_H$
$N=2, N'=1$	$0/61496$	$1/05691$	$1/89455$
$N=4, N'=1$	$0/62076$	$1/4179$	$1/93872$
$N=4, N'=2$	$0/62505$	$1/2934$	$1/98289$
$N=4, N'=3$	$0/63006$	$0/8236$	$2/27259$
$N=4, N'=3, N''=1$ SBMFRG	$0/63464$	$1/7118 - 0/8197$	$1/8614 - 2/27827$
Monte Carlo [V]	$0/69291$	$0/7089$	$2/486$
High temperature series [A]	$0/6929$	$0/712$	$2/4881$

نرديکتر می‌شويم، اين بار خوشه مربعی را با  $N=4$  مطالعه می‌کنيم.

$$-\beta H_t = k(\vec{s}_1 \cdot \vec{s}_2 + \vec{s}_1 \cdot \vec{s}_3 + \vec{s}_1 \cdot \vec{s}_4 + \vec{s}_2 \cdot \vec{s}_4), \quad (18)$$

كه  $H_t$  هاميلتونی مسئله است و

$$a_i = (z-1)kb_i + h, \quad i = 1, 2, 3, 4 \quad (19)$$

برای محاسبه تابع پارش مربوط به اين هاميلتونی نياز به تغيير

متغير زير داريم

$$\vec{s}'_1 = \vec{s}_1 + \vec{s}_4, \quad \vec{s}'_2 = \vec{s}_2 - \vec{s}_4 \quad (20)$$

$$a'_1 = \frac{1}{2}(a_1 + a_4), \quad a'_2 = \frac{1}{2}(a_2 - a_4).$$

بنابراین تابع پارش اين چنین به دست می‌آيد:

$$Q_1 = \pi \left[ \frac{1}{2} \left( \frac{\pi}{k} \right)^2 \right] \int d\vec{s}'_1$$

$$\left( \left( 2\pi + \frac{\pi}{3} a'_1 s'_1 + \frac{\pi}{3} a'_2 (4 - s'_1) \right) I_{1/2}(s'_1 k) + \left( \frac{2\pi}{3} (a_1 + a_4) a'_1 s'_1 + \frac{\pi}{ks'_1} (a'_1 + a'_2) \right) I_{1/2}(s'_1 k) I_{3/2}(s'_1 k) + \frac{2\pi}{3} a_1 a'_1 I_{1/2}(s'_1 k) + \frac{\pi}{3} (a'_1 + a'_2) I_{1/2}(s'_1 k) I_{5/2}(s'_1 k) \right). \quad (21)$$

پس از محاسبه اين انتگرال با جايگذاري مقادير پيشين  $a'_1$  و  $a'_2$  بر حسب  $a_1$  و  $a_2$  مغناطش را به دست می‌آوريم و در پيان با شرط  $a_1 = a_2 = a_3 = a_4$  دما و نمای بحرانی را از MFRG محاسبه می‌کنيم. نمودار تابع  $f(k)$  بر حسب  $k$  در شكل ۱، نتایج حاصل از روش MFRG برای مدل هایزنبرگ

شکست تقارنی شبکه با آن همجهت باشد، هاميلتونی برای  $N=2$  و  $N=4$  به ترتیب عبارتند از:

$$-\beta H_t = a'_1 s_{1z}, \quad (13)$$

$$-\beta H_t = k \vec{s}_1 \cdot \vec{s}_2 + a_1 s_{1z} + a_4 s_{4z},$$

كه اگر  $z$  تعداد نرديکترین همسایه‌ها در شبکه باشد،

$$a'_1 = zk'b' + h', \quad (14)$$

$$a_i = (z-1)kb_i + h \quad i = 1, 2$$

و تابع پارش مربوط به آنها از

$$Q_N = \int d\vec{s}_1 \dots d\vec{s}_N e^{-\beta H_N} \delta(|\vec{s}_1|^2 - 1) \dots \delta(|\vec{s}_N|^2 - 1), \quad (15)$$

محاسبه می‌شود. از رابطه (14) با محاسبه انتگرال و بسط آنها تا مرتبه دوم میدانها،  $Q_1$  و  $Q_2$  به شکل زير به دست می‌آيند:

$$Q_1 = \pi (2 + 1/2 a'_1)^2 \quad (16)$$

$$Q_2 = \left[ \frac{1}{2} \left( \frac{\pi}{k} \right)^2 \right] \left\{ \left( 2\pi + \frac{\pi}{3} a'_1 \right) I_{1/2}(k) + \frac{2\pi}{k} \left( \frac{a'_1}{2} + \frac{a'_2}{2} + \frac{k}{3} a_1 a_4 \right) I_{3/2}(k) + \frac{\pi}{3} a'_1 I_{5/2}(k) \right\} \quad (17)$$

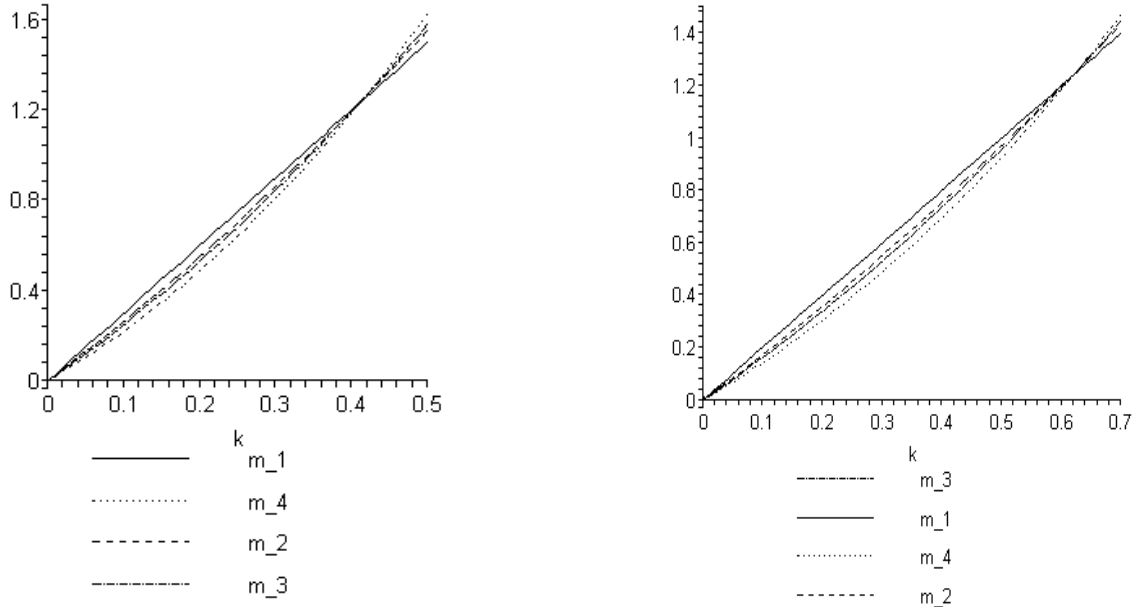
كه  $I_\nu(k)$  توابع بسل تعديل يافته نوع اول از مرتبه  $\nu$  هستند. می‌توان از اين روابط استفاده كرد و مغناطش را كه جملاتی تا مرتبه اول  $a_i$  دارد، محاسبه نمود. از رابطه (7)،  $k_c$  و نماهای بحرانی محاسبه می‌شود كه نتایج در جدول ۱ آمده است.

۴. MFRG در محاسبه مغناطش خوشة مربعي با توجه به اين كه هر چه خوشه‌ها بزرگتر باشد به جواب دقيق

$$\text{جدول ۲ . نتایج به دست آمده از مدل هایزبرگ با انتخاب } L \text{ به صورت}$$

$$L = \left( \frac{1}{d} \sum_i L_i^{-2} \right)^{-1/2}$$

<i>Heisenberg Model</i>	$k_c$	$\nu$	$y_H$
$N=2, N'=1$	۰/۶۱۴۹۶	۰/۷۲۰۶	۲/۳۹۰۴
$N=4, N'=1$	۰/۶۲۰۷۶	۰/۷۰۹۱	۲/۳۷۷۲
$N=4, N'=2$	۰/۶۲۵۰۵	۰/۷۲۰۶	۲/۳۶۶۶
$N=4, N'=3$	۰/۶۳۰۰۶	۰/۷۴۹۶	۲/۳۴۹۳۸
$N=4, N'=2, N''=1$ SBMFRG	۰/۶۹۹۱۷	۰/۶۴۱۹ - ۰/۶۶۵۲	۲/۴۹۴۳ - ۲/۴۷۰۵
Monte Carlo [V]	۰/۶۹۲۹۱	۰/۷۰۸۹	۲/۴۸۶
High temperature series[λ]	۰/۶۹۲۹	۰/۷۱۲	۲/۴۸۸۱

شکل ۲. نمودار تابع  $f(K)$  بر حسب  $K$  برای مدل XY.شکل ۱. نمودار تابع  $f(K)$  بر حسب  $K$  برای مدل هایزبرگ.

در جدول ۱ و نتایج مربوط به همین مدل اما با تعریف جدید  $L$  در جدول ۲ آمده است.

روش MFRG را برای مدل XY تکرار می‌کنیم. توابع پارش آن برای  $N=1, 2, 4$  عبارتند از:

$$Q_1 = \pi \left\{ 2 + \frac{1}{\chi} a_\chi^2 \right\} \quad (22)$$

$$Q_2 = \pi \left\{ \left( 2\pi + \frac{\pi}{\chi} a_\chi^2 \right) I_0(k) + \frac{\pi}{k} (a_\chi^2 + ka_\chi a_\gamma) I_\chi(k) + \frac{\pi}{\chi} (a_\chi^2 + a_\gamma^2) I_\gamma(k) I_\chi(k) + \pi a_\chi a_\gamma I_\chi(s_\chi' k) \right\} \quad (23)$$

نمودار تابع  $f(k)$  بر حسب  $k$  برای مدل XY در شکل ۲ و

$$Q_4 = \pi^2 \int ds'_\chi \frac{1}{\sqrt{4-s'^2_\chi}} \left( \left( 2\pi + \frac{\pi}{\chi} a_\chi^2 s_\chi'^2 + \frac{\pi}{\chi} a_\chi^2 (4-s'^2_\chi) \right) I_0(s_\chi' k) + (\pi a_\chi'(a_\chi + a_\gamma) s_\chi' + \pi \frac{a_\chi^2 + a_\gamma^2}{ks_\chi'}) I_0(s_\chi' k) I_\chi(s_\chi' k) + \frac{\pi}{\chi} (a_\chi^2 + a_\gamma^2) I_\gamma(s_\chi' k) I_\chi(s_\chi' k) + \pi a_\chi a_\gamma I_\chi(s_\chi' k) \right). \quad (24)$$

جدول ۳. نتایج به دست آمده از مدل XY با انتخاب  $L$  به صورت  $L = N^{1/d}$ .

<b>XY-Model</b>	$k_c$	$\nu$	$y_H$
$N=2, N'=1$	$0/40828$	$1/5571$	$1/89455$
$N=4, N'=1$	$0/41196$	$1/4056$	$1/93872$
$N=4, N'=2$	$0/41457$	$1/2809$	$1/98289$
$N=4, N'=3$	$0/41767$	$0/8143$	$2/27261$
$N=4, N'=2, N''=1$ SBMFRG	$0/42407$	$0/6900 - 0/8057$	$1/8637 - 2/28473$
Monte Carlo [۹]	$0/45392$	$0/675$	$2/482$
High temperature series [۸]	$0/45414$	$0/673$	$2/4881$

جدول ۴. نتایج به دست آمده از مدل XY با انتخاب  $L$  به صورت  $L = \left(\frac{1}{d} \sum_i L_i^{-2}\right)^{-1/2}$ 

<b>XY-Melod</b>	$k_c$	$\nu$	$y_H$
$N=2, N'=1$	$0/40828$	$0/6899$	$2/3904$
$N=4, N'=1$	$0/41196$	$0/7029$	$2/3772$
$N=4, N'=2$	$0/41457$	$0/7137$	$2/3666$
$N=4, N'=3$	$0/41767$	$0/7411$	$2/3489$
$N=4, N'=2, N''=1$ SBMFRG	$0/45942$	$0/6393 - 0/6607$	$2/4359 - 2/4046$
Monte Carlo [۹]	$0/45392$	$0/675$	$2/482$
High temperature series [۸]	$0/45414$	$0/673$	$2/4881$

دست آوریم و از روش‌های MFRG و SBMFRG کمیتهای بحرانی مورد نظر خود را محاسبه کنیم.

نتایج جدول ۱ برای مدل هایزنبرگ نشان می‌دهد که در روش MFRG با رشد خوشه‌ها به نتایج دقیق نزدیکتر می‌شویم. علاوه بر این با وارد کردن آثار سطحی و استفاده از روش SBMFRG، بهبود محسوسی در نتایج به وجود می‌آورد.

در ضمن با مقایسه نتایج تحلیلی برای مدل هایزنبرگ در جدولهای ۱ و ۲، مشاهده می‌کنیم که مقدار دمای بحرانی در روش MFRG مستقل از نوع انتخاب  $L$  می‌باشد. اما با

انتخاب  $L$  به صورت  $L = \left(\frac{1}{d} \sum_i L_i^{-2}\right)^{-1/2}$ ، نماهای بحرانی

دما و نماهای بحرانی این مدل به روش MFRG را می‌توان در جدول ۳ مشاهده کرد. همچنین نتایج مربوط به مدل XY که از تعریف دوم  $L$  به دست آمده در جدول ۴ درج شده است.

## ۵. نتیجه‌گیری

در این مقاله به بررسی خواص بحرانی و محاسبه جفت‌شدگی بحرانی ( $K$ ) (عکس دمای بحرانی) و نماهای بحرانی گرمایی و مغناطیسی در شبکه‌های مکعبی از روش گروه بازبهنجارش میدان میانگین و گروه بازبهنجارش میدان میانگین سطحی-کپهای پرداختیم. در خوشه‌های ۱، ۲، ۳ و ۴ اسپینی به طور کاملاً تحلیلی، توانستیم توابع پارش مربوطه را به

مقدار دقیق خود بسیار نزدیک می‌شود. در مورد مدل XY نیز دقیقاً به همین شکل می‌توان روی نتایج جدولهای ۳ و ۴ بحث کرد.

به میزان قابل توجهی اصلاح می‌شوند. همچنین مقدار دمای بحرانی در روش SBMFRG، به نوع انتخاب  $L$  وابسته است و با انتخاب  $L = \left( \frac{1}{d} \sum_i L_i^{-1} \right)^{-1/2}$ ، دمای بحرانی نیز به

## مراجع

7. P Peczak, Alan M Ferrenberg, and D P Landau, *Phys. Rev B* **43** (1991) 6087.
8. J Adler, C Holm and W Janke, *Physica A*, **201** (1993) 581.
9. M Ferer and A H Aidinejad, *Phys. Rev. B*, **34** (1986) 6481.
1. K G Wilson, *Phys. Rev. B* **4** (1971) 3174.
2. K G Wilson, *Rev. Mod. Phys.* **47** (1975) 773.
3. H B Callen; *Phys. Lett.* **4** (1963) 161.
4. Per Arne. Slotte, *J. Phys. A* **20** (1987)L177.
5. J A Plascak, W Figueiredo and B C S Grandi, *Braz J. Phys.* **29** (1999) 579.
6. N goldenfeld, "Lectures on phase transitions and the renormalization group", 2th printing (1993).